

## Список литературы

- [1] Зельдович Б.Я., Пилипецкий Н.Ф., Шкунов В.В. Обращение волнового фронта. М.: Наука, 1985. 240 с.
- [2] Лукин В.П. Атмосферная адаптивная оптика. Новосибирск: Наука, 1986. 248 с.
- [3] Васильев О.И., Лебедев С.С., Семенов Л.П. // Квантовая электроника. 1987. Т. 14. № 11. С. 2347-2348.
- [4] Коломиец С.М. В кн.: Тез. докл. Ш Всес. сов. по распространению лазерного излучения в дисперсной среде, ч. Ш. Обнинск: ИЭМ, 1985, с. 92-95.

Поступило в Редакцию  
6 июня 1988 г.

Письма в ЖТФ, том 15, вып. 4  
05.1

26 февраля 1989 г.

### О КОРРЕЛЯЦИИ МЕЖДУ СКОРОСТЬЮ ПОЛЗУЧЕСТИ И КРИТИЧЕСКИМ НАПРЯЖЕНИЕМ СДВИГА ОБЛУЧАЕМЫХ МЕТАЛЛОВ

Ш.Ш. Ибрагимов, Д.В. Камшилин,  
Ю.С. Пятiletov, О.Г. Тюпкина

В металлических образцах под воздействием облучения высокоэнергетическими частицами создаются радиационные дефекты (кластеры, вакансационные и межузельные петли, вакансационные поры). Они служат барьерами для движущихся дислокаций и определяют величину критического напряжения сдвига  $\tau_{kp}$  и скорости ползучести  $\dot{\epsilon}$  [1]. Изменение мощности и концентрации барьеров в результате облучения является общей причиной, совместно влияющей на  $\dot{\epsilon}$  и  $\tau_{kp}$ , поэтому  $\dot{\epsilon}$  и  $\tau_{kp}$  - коррелированные величины [2]. Установление вида корреляционной зависимости  $\dot{\epsilon}$  от  $\tau_{kp}$  и определение степени тесноты связи<sup>1</sup> этих величин составляет предмет настоящей работы.

В качестве объекта исследования выбран модельный металлический материал с кубической решеткой, содержащий прямолинейные краевые дислокации плотностью  $\rho_n$ , ориентированные вдоль координатных осей  $x_\beta$  ( $\beta=1, 2, 3$ ) и имеющие векторы Бюргерса, на-

<sup>1</sup> Термин „степень тесноты связи” является общепринятым в математической статистике. Он характеризует, насколько сильно связаны друг с другом исследуемые случайные величины.

правленные вдоль  $x_3$ . Кристалл подвержен облучению с интенсивностью образования повреждений  $K$  смешений на атом в секунду (сна/с), в результате которого в нем образовались межузельные петли и вакансационные поры объемной плотностью  $N_{IL}$  и  $N_V$  размером  $r_{IL}$  и  $r_V$  соответственно.

Вычисление критического напряжения сдвига проводим с помощью ЭВМ-моделирования движения дислокации через сетку случайно расположенных препятствий (пор, петель, дислокаций леса) [3, 4]. Мощность барьера определяется критическим углом  $\varphi_{kp}$ , образуемым сегментами дислокации в точке расположения барьера, начиная с которого дислокация преодолевает этот барьер. Согласно классификации Бемента [5], вакансационные поры – „сильные“ барьеры ( $\varphi_{kp} = 1.4$  рад), дислокации леса и межузельные петли – „слабые“ ( $\varphi_{kp} = 2.8$  рад). За  $\tau_{kp}$  принимается такое напряжение, при котором дислокация преодолевает все барьеры на площадке моделирования [3, 4].

Скорость радиационной ползучести  $\dot{\varepsilon}$  вычисляем в рамках модели, основанной на скольжении и переползании дислокаций [16], по формуле

$$\dot{\varepsilon} = \frac{L}{\lambda} b \rho_n^{(1)} v, \quad (1)$$

где  $\lambda$  – средний размер радиационных дефектов – барьеров;  $b$  – модуль вектора Бюргерса;  $\rho_n^{(1)}$  – плотность скользящих дислокаций;  $v$  – скорость переползания дислокаций;  $L$  – расстояние, проходимое дислокацией в плоскости скольжения между двумя устойчивыми конфигурациями (оно рассчитывается с помощью ЭВМ-моделирования по тому же методу, что и  $\tau_{kp}$ ).

Введем безразмерные параметры  $\alpha$  и  $\alpha$ , характеризующие долю „слабых“ барьеров и среднее расстояние между барьерами в плоскости скольжения дислокации соответственно:  $\alpha = (\rho_f + \rho_L) / \rho_T$ ,  $\alpha = l/l_o$ . Через  $\rho_T$  обозначена полная плотность барьеров в плоскости скольжения ( $\rho_T = \rho_f + \rho_L + \rho_V$ ), где  $\rho_f$  – плотность дислокаций леса,  $\rho_L = 2r_{IL}N_{IL}$ ,  $\rho_V = 2r_VN_V$ ,  $l$  – среднее расстояние между барьерами ( $l = \rho_T^{-1/2}$ ),  $l_o$  – значение  $l$  при фиксированной плотности барьеров  $10^{14} \text{ м}^{-2}$  ( $l_o = 10^{-7} \text{ м}$ ). В принятых здесь приближениях параметр  $\alpha$  принимает значение от  $\approx 0.3$  до  $\sqrt{3}$ , а  $\alpha$  меняется в пределах  $\alpha^2/3 \leq \alpha \leq 1$ .

Расчет зависимостей  $\tau_{kp}$  и  $\dot{\varepsilon}$  от  $\alpha$  и  $\alpha$  при использовании параметров сталей и сплавов на основе железа [6], температуре 720 К, внешнем растягивающем напряжении  $\sigma = 40 \text{ МПа}$ ,  $K = 10^{-7} \text{ сна/с}$ ,  $\rho_f = 1/3 \cdot 10^{14} \text{ м}^{-2}$ ,  $r_{IL} = r_V = 10^{-8} \text{ м}$  показал, что с уменьшением концентрации барьеров при неизменном соотношении между количеством „сильных“ и „слабых“, а также с увеличением доли „слабых“ барьеров при неизменной их общей концентрации  $\tau_{kp}$  монотонно уменьшается, а  $\dot{\varepsilon}$  – увеличивается. Отсюда можно заключить, что  $\dot{\varepsilon}$  и  $\tau_{kp}$  – коррелированные величины, хотя между ними нет прямой причинной связи и функциональной зависимости. На основании полученных данных определим характеристики корре-

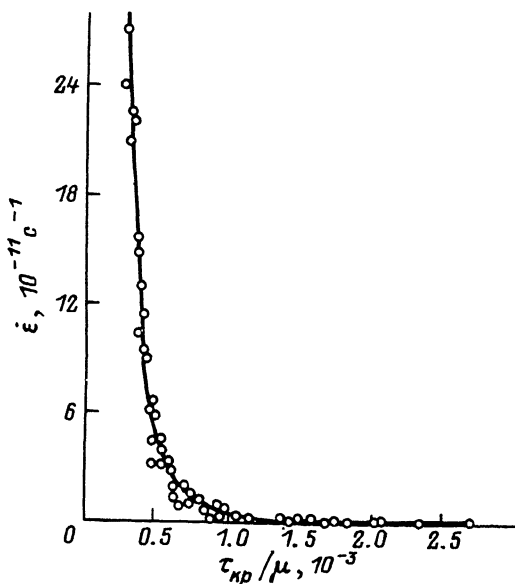


Рис. 1. Корреляционная зависимость  $\dot{\epsilon}$  от  $\tau_{kp}$ .

ляционной зависимости  $\dot{\epsilon}$  от  $\tau_{kp}$ : линию регрессии  $\dot{\epsilon}$  по  $\tau_{kp}$  и корреляционное отношение  $\gamma$ , отражающее степень тесноты связи  $\dot{\epsilon}$  и  $\tau_{kp}$ .

С этой целью, по методике, принятой в математической статистике (см., например, [7]), строим поле корреляции с координатами  $\dot{\epsilon}$  и  $\tau_{kp}/\mu$  ( $\mu$  — модуль сдвига), нанеся на него точки, отвечающие значениям  $\dot{\epsilon}$  и  $\tau_{kp}$ , полученным при разных  $\alpha$  и  $\omega$  (рис. 1). Затем, вычислив средние значения  $\dot{\epsilon}$  при разных  $\tau_{kp}$ , определяем линию регрессии  $\dot{\epsilon}$  по  $\tau_{kp}$  (сплошная линия на рис. 1). Она не-плохо аппроксимируется степенной функцией

$$\dot{\epsilon} = A(\tau_{kp}/\mu)^{-B}, \quad (2)$$

где  $A=7.14 \cdot 10^{-22} \text{c}^{-1}$ ;  $B=3.28$ .

Разброс точек на корреляционном поле относительно линии регрессии и отклонение этой линии от горизонтальной прямой показывают, насколько сильно связаны  $\dot{\epsilon}$  и  $\tau_{kp}$ . Количественной характеристикой степени тесноты связи служит корреляционное отношение  $\gamma$  [7] (при  $\gamma=0$  корреляция отсутствует; при  $\gamma \rightarrow 1$  она настолько сильна, что корреляционная зависимость переходит в функциональную). Из данных, приведенных на рис. 1, следует  $\gamma=0.983$ , что свидетельствует о сильной корреляции между  $\dot{\epsilon}$  и  $\tau_{kp}$ .

Сравним полученные результаты с экспериментальными данными из работы [8], в которой была исследована корреляция между скоп-

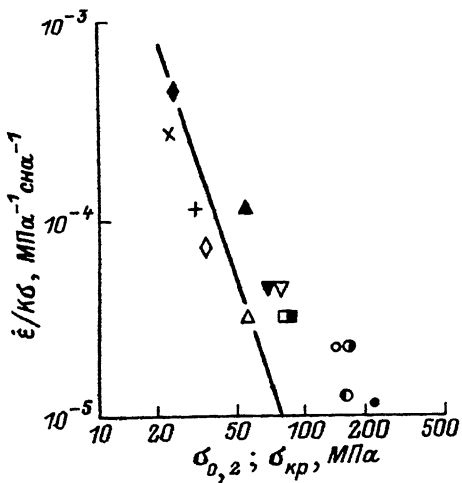


Рис. 2. Корреляционная зависимость  $\dot{\varepsilon}/K_B$  от  $\sigma_{kp}$ , вычисленная по формуле (2). Значками разного типа обозначены полученные в работе [8] значения  $\dot{\varepsilon}/K_B$  для ряда ГЦК-металлов и сплавов (облучение протонами с энергией 6.2 МэВ) и  $\sigma_{0,2}$  этих материалов в исходном состоянии.

ростью радиационной ползучести и пределом текучести  $\sigma_{0,2}$  ряда ГЦК-металлов и сплавов. На рис. 2 воспроизведены данные из [8] (значки разного типа) и нанесена линия регрессии  $\dot{\varepsilon}$  по  $\sigma_{kp}$ , взятая из рис. 1 (эквивалентом  $\sigma_{0,2}$  в наших расчетах служит растягивающее напряжение  $\sigma_{kp} = 2 \tau_{kp}$ , при котором сдвиговые компоненты напряжения принимают значение  $\tau_{kp}$ ). Из рис. 2 видно, что хотя приведенные значения  $\sigma_{0,2}$  относятся к исходному (необлученному) состоянию материалов, расчетная линия регрессии  $\dot{\varepsilon}$  по  $\sigma_{kp}$ , задаваемая степенной зависимостью (2), неплохо отражает наблюдаемую в эксперименте связь  $\dot{\varepsilon}$  с  $\sigma_{0,2}$ .

То обстоятельство, что  $\dot{\varepsilon}$  и  $\sigma_{kp}$  — коррелированные величины, может быть использовано на практике. Зная вид корреляционной зависимости  $\dot{\varepsilon}$  от  $\sigma_{kp}$  и используя результаты кратковременных испытаний на растяжение, можно не проводя длительных испытаний, делать определенные выводы о скорости ползучести.

#### Список литературы

- [1] Ибрагимов Ш.Ш., Кирсанов В.В., Пятилетов Ю.С. Радиационные повреждения металлов и сплавов. М.: Энергоатомиздат, 1985. 240 с.

- [2] Кирсанов В.В., Трушин Ю.В. В сб.: Моделирование на ЭВМ дефектной структуры кристаллов. Л.: ФТИ, 1987, с. 28-33.
- [3] F o r e m a n J.E., M a k i n M.J. // Phil. Mag. 1966. V. 14. P. 735-740.
- [4] Кирсанов В.В., Тюпкина О.Г. Препринт 6-81, Алма-Ата, ИЯФ АН КазССР, 1981. 40 с.
- [5] B e m e n t A.L. // Rev. Roum. Phys. 1972. V. 17. P. 360-380.
- [6] Пятилетов Ю.С. // ФММ. 1982. Т. 54. С. 1080-1087.
- [7] Айвазян С.А. Статистическое исследование зависимостей. М.: Металлургия, 1968. 227 с.
- [8] J u n g P., A n s a r i M.I. // J. Nucl. Mater. 1986. V. 138. P. 40-45.

Институт ядерной  
физики АН Казахской ССР  
Алма-Ата

Поступило в Редакцию  
4 июля 1988 г.